

日本電信電話公社 東京電気通信研究所 ○正員 中山 知明

正員 高橋木志夫

山本 俊雄

1.はじめに

電電公社では、早張性レジンモルタルを現場打設してトンネルライニングを築造する小断面シールド工法(D1200-H2)を開発し、実用化の見通しを得た。このレジンモルタルは、トンネルライニング用に新しく開発された材料であり、不飽和ポリエスチル樹脂と骨材(砂・炭酸カルシウム)の混和物である。レジンモルタルは、硬化皮と混練することで30分で、供試体曲げ強度120kgf/cm²以上達する。しかししながら、実物大トンネルルーフの強度は供試体強度の約75%であり、この强度低下の原因については、未解明である。

本報告では、レジンモルタルをせん性材料として取扱い、ワイド理論によるリンク強度低下の原因について考察し、供試体强度の分布からリンク强度を推定する方法について論じる。

2.ワイド理論の仮定

本報告では、所謂“ボイド説”を立脚し、次の前提のもとに議論を進める。

(1) ボイドの强度はワイド分布とする。

(2) 最弱ボイドの構造体强度を決定する。

(3) リング内の応力分布はシェル理論を従う²⁾。リンク厚さ方向には完全に $\tau = \tau$ である。

3.レジンモルタル强度の分布

仮定(1)より、レジンモルタル中のボイドの强度分布を下式のワイド分布で表す。

$$f_0(x) = 1 - \exp\left\{-\left(\frac{x}{\theta_0}\right)^m\right\}, \quad f_0(x) = \frac{m x^{m-1}}{\theta_0^m} \exp\left\{-\left(\frac{x}{\theta_0}\right)^m\right\} \quad (1)$$

但し、 x : ボイド强度, $f_0(x)$: 穎率强度関数, θ_0 , m : 分布パラメータ

ここで、単位体積当たりのボイドの数を n とすると、体積 V の構造体中のボイドの数は $nV = gV$ となる。仮定(2)より、構造体の强度分布は各々のボイドの最小値分布となる。

$$F_0(x) = 1 - \left\{1 - F_0(x)\right\}^n = 1 - \exp\left\{-n\left(\frac{x}{\theta_0}\right)^m\right\} = 1 - \exp\left\{-\left(\frac{x}{\theta_0 \cdot (gV)^{1/m}}\right)^m\right\} \quad (2)$$

となり、構造体强度をやがてワイド分布となる。ここでワイド分布の性質より、構造体强度の平均値は、

$$\bar{x}_s = (gV)^{1/m} \cdot \theta_0 \cdot P(1 + Y_m) \quad (3)$$

但し、 $P(x)$: ガンマ関数

となる。この関係は、小林らの実験結果により証明できる³⁾。

4.强度分布パラメータの推定

実際に地下で築造したレジントンネルより採取した供試体(6×6×24cm)の曲げ强度試験(JIS A 1184)結果より分布パラメータ(θ_0 , m)を(2)式から推定するところである⁴⁾。(図-1)

$$\theta_0 = (gV)^{1/m} \cdot \theta_0 = 270 \text{ kgf/cm}^2, \quad m = 6.4 \quad (4)$$

5. $\tau > \tau$ 強度の推定

供試体曲げ强度から $\tau > \tau$ 強度を推定するには、寸法効果の他、応力分布の差異も考慮する必要がある。(図-2)

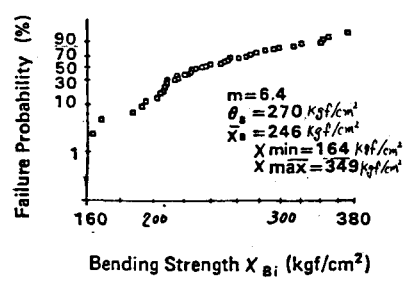


図-1 曲げ供試体强度の分布

供試体曲げ強度の分布は(1)式から次のようになる。⁵⁾

$$F_B(x_B) = 1 - \exp \left\{ - \frac{8bLh}{Z(m+1)} \left(\frac{x_B}{B_0} \right)^m \right\} \quad (5)$$

手を仮定(3)より、 $\tau > \gamma$ 内の応力分布は次式で表わされる。(図-3)

$$\sigma(Y, Z) = \left\{ -\frac{1}{2A} \sin Y + \frac{t_0 R}{ZI} (0.3183 - 0.5 \sin Y) \right\} (\gamma - \tau) \quad (6)$$

$$\text{但し } A = L t_0, I = L t_0^3 / 12 \quad (6)$$

$\tau, \gamma, \tau > \gamma$ 強度の分布は(6)式から次のようになる。

$$\ln(1 - F_R) = 1 - \int_{\gamma}^{\tau} 8 \cdot \ln(1 - F_B) \cdot \sigma(Y, Z) dV$$

$$F_R(x_R) = 1 - \exp \left\{ - \int_{\gamma}^{\tau} \frac{Y(1 + \alpha \sin Y)^{m+1}}{Z(1 + \beta \sin Y)} dY \cdot \frac{Z B R L t_0}{(m+1)} \left(\frac{x_R}{B_0} \right)^m \right\} \quad (7)$$

$$\text{但し } \alpha = -\frac{1}{2A} + \frac{0.5 t_0 R}{ZI}, \beta = -\frac{0.5 t_0 R}{ZI}$$

$$\alpha = -\frac{0.3183 \frac{t_0 R}{ZI}}{2A}, \beta = -\frac{0.3183 \frac{t_0 R}{ZI}}{ZI}$$

$$\sigma(Y, Z) \Big|_{Y=Y_0, Z=Z_0} = 0, x_R = \sigma(Y, Z) \Big|_{Y=0, Z=Z_0}$$

$$\therefore \tau - m = 6.4 \pm 1,$$

$$\int_{\gamma}^{\tau} \frac{Y(1 + \alpha \sin Y)^{m+1}}{Z(1 + \beta \sin Y)} dY = 4.8 \times 10^{-2} \quad (8)$$

以上により、供試体曲げ強度分布から、 $\tau > \gamma$ 強度が次式のように推定できる。

$$F_R(x_R) = 1 - \exp \left\{ - \left(\frac{x_R}{B_0} \right)^m \right\} \quad (9)$$

$$\text{但し } m = 6.4$$

$$\sigma_R = \left\{ \frac{bRl}{4 \times 4.8 \times 10^{-2} RL t_0} \right\}^{1/m} = 160 \text{ kgf/cm}^2$$

$$\therefore x_R = \frac{\sigma_R}{B_0}, \bar{x}_B = 0.59 \cdot \bar{x}_R \quad (10)$$

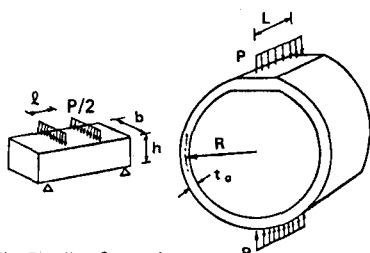
実験結果は図-4のとおりであり、種々のレジンモルタル強度について(10)式とよく一致している。15%程度の誤差は、硬化液配合比(所謂“水-セメント比統一”)の原因を考慮しておいたものと考えられる。

6. 結論

実物大トンネルの $\tau > \gamma$ 強度をワイヤル理論を用いて、供試体曲げ強度を推定した。今後は、同一形状で硬化液配合比の異なる供試体の強度試験によれば、レジンモルタル強度の硬化液配合比依存性を明らかにしたい。

参考文献

- 1) 商環・中山“現場打設による単強性レジンモルタル強度について”，工学会年次学術講演概要集(58年)
- 2) S. P. Timoshenko, J. N. Goodier "THEORY OF ELASTICITY"
- 3) 小柳他“レジンコロイドの各種強度と供試体寸法の影響”，材料学会年次講演会集(56年)
- 4) 竹内“確率分布と設計解析”，日本規格協会
- 5) 横須“材料强度学”，技術堂



a) The Bending Strength Test

b) The Ring Strength Test

図-2 レジンモルタル強度試験方法

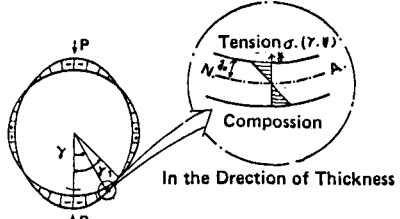


図-3 $\tau > \gamma$ 内の応力分布

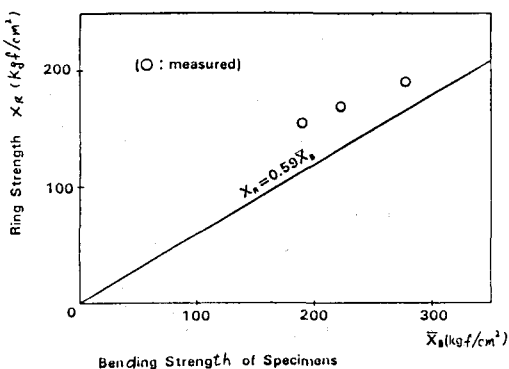


図-4 供試体曲げ強度 × $\tau > \gamma$ 強度の関係